

京都大学防災研究所 正員 岡 太郎

1. まえがき 前報で<sup>1)</sup>、斜面域の土壤水分流動の二次元解析法と計算結果について述べた。ここでは解析の簡単化を目的として工夫したlinked modelとその適用結果及び土壤水分二次元流動特性について述べる。

### 2. Linked modelの拡張 斜面域の土壤水分流動

は、飽和・不飽和領域を区別せずにRichardsの式を適用して解析しうるが、二次元解析には多大の計算を必要とし、実用上問題は少くない。しかし、土壤層の下部全域に飽和帯が存在する場合には、鉛直一次元表示のRichardsの式とBoussinesqの式を組合せたlinked modelを用いて、土壤水分消長と地下水流动の解析が

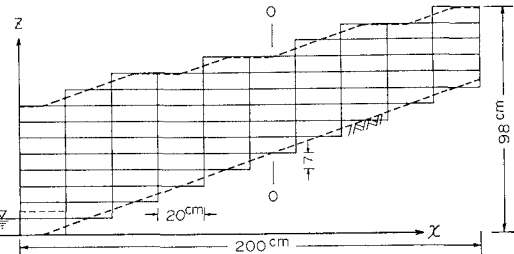


図1 解析領域と格子分割

比較的容易に行える。ただ、不透層が傾斜している場合には、飽和帯が部分的にしか認められず、このmodelの適用に向問題がある。ここでは図1のような系について適用できるようにlinked modelの拡張・改良を試みる。  
(1) 土壤水分流動の鉛直一次元解析 解析領域を二次元解析の場合と同じように格子分割(図1)，水平方向の土壤水分流動は生じないものと考え、各鉛直土壤柱について(1)式を用いて土壤水分流動解析を行う。

$$\frac{\partial \theta}{\partial t} = \frac{\partial}{\partial z} (D(\theta) \frac{\partial \theta}{\partial z}) + \frac{\partial K_z(\theta)}{\partial z} \quad \dots \dots \dots (1)$$

ここで、 $\theta$ : 体積含水率,  $D(\theta)$ : 扩散係数,  $K(\theta)$ : 遷水係数,  $t$ : 時間  
この場合の境界・初期条件は次のとおりである。

(i)  $t > 0$ ,  $z = L_i$  (地表面上) :  $\theta_{z=L_i} < \theta_{sat}$  のとき,  $q_{z=L_i} = R$ ,  
 $\theta_{z=L_i} \geq \theta_{sat}$  のとき,  $\theta_{z=L_i} = \theta_{sat}$ . ここで  $\theta_{sat}$ : 饱和土壤水分量,  
 $R: R \leq 0$  のとき降雨強度,  $R > 0$  のとき蒸発強度.

(ii)  $t > 0$ ,  $z = G_i$  (不透層上) :  $q_{z=G_i} = \Delta Q_i / \Delta x$   $\Delta Q_i$  は次の水平流动の解析より得られるものである。なお、不透層上に飽和帯が形成

された場合には、飽和帯直上の不飽和微小領域( $j+1$ )の下方からの土壤水流動量  $q_{j+1}$  は(2)式で計算する。

$$q_{j+1} = \Delta Q_i / \Delta x - \sum_{j=1}^i [(\theta_{j,sat} - \theta_j^{t-s}) \times \Delta Z_j / \Delta t] \quad \dots \dots \dots (2)$$

(iii)  $t = 0$ ,  $G_i \leq z \leq L_i$  : はじめ各微小領域に  $\psi = H - z$  を与え、後に  $\theta$  に変換する。H: 河川水位。

(2) 水平流动の解析 不透層に達した雨水の水平方向流动を、飽和帯の有無を区別して次のように取扱う。

(i) 饱和帯が存在する場合: Dupuit-Forchheimerの仮説が成立するものとして、 $i$  から  $i-1$  への水平流动量  $Q_{i,i-1}$  を(3)式で計算する。(図2参照)  $Q_{i,i-1} = -K(\theta_{sat}) \times [(h_{i-1} + G_{i-1}) - (h_i + G_i)] / \Delta x \times (h_i + h_{i-1}) / 2 \dots \dots (3)$

(ii) 饱和帯が存在しない場合:

$$Q_{i,i-1} = -K(\theta_{j+1,i}) \times [(h_{j+1,i} + G_{j+1,i}) - (h_{j+1,i} + G_{i-1})] / \Delta x \times \Delta Z_{j+1,i} \quad \dots \dots \dots (4)$$

$\theta_{j+1,i}$ ,  $K(\theta_{j+1,i})$ : 不透層直上の微小区分( $j+1, i$ )における suction headと遷水係数。ここで(2)式の  $\Delta Q_i$  は(5)式で求められる。

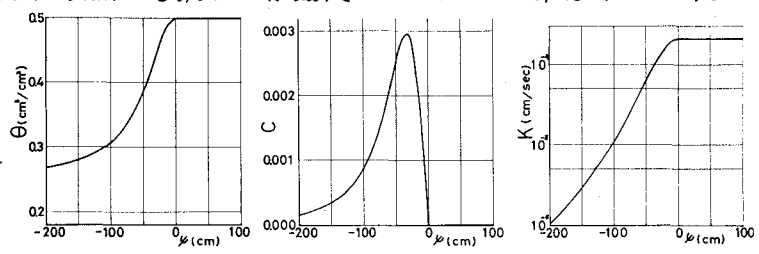


図2 飽和領域内の水平流动

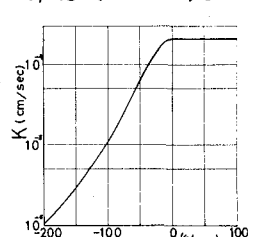
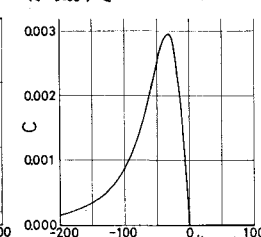
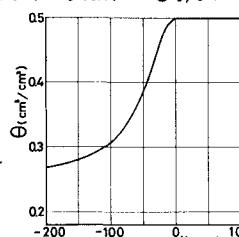


図3 土壤水分特性

$$\Delta Q_i = Q_{i+1,j} - Q_{i,j-1} \quad \dots (5)$$

(1)~(5)式が同時に満足するまで繰り返し計算を行うことにより、斜面域の土壤水分流動の近似解が得られる。

3. 計算結果と考察 図1の解析領域を、 $\Delta x=20\text{cm}$ ,  $\Delta z=7\text{cm}$  で格子分割し、図3の土壤水份特性及び図4の降雨条件を用いて解析を行った。linked modelによる(3)式の計算では、土壤水分量が0.49以上の部分を飽和帯とみなし、流出量の計算精度を良くするために下流端土壤柱の $\Delta z$ を一部細くとり解析を進めた。計算結果より、図4に土壤水分分布、図5に地下水流出量、図6に飽和領域の消長を示す。なお、これらの図には二次元解析結果を併示してある。

これらの計算結果を比較すると次の事項が明らかになる。

(1) 図4によると、降雨開始後15時間頃までは土壤水分分布はかなり良く一致している。その後はlinked modelで得られた土壤水分分布は上流側部で過大、下流側で過小の傾向にある。また、図5の地下水流出ハイドログラフでは13時間頃から流出量が急に減少している。これは飽和帯が後退するに伴い、上流側からの流下量が、二次元解析の場合よりかなり小さく評価されたことを意味し、(4)式の流動幅に $\Delta z_{min}$ を採用したためであると考えられる。今後 $\theta$ の大小と流動幅との実験を検討する必要がある。

(2) 図5によると地下水流出量は降雨終了1時間後にピークに達しているが、土壤水分分布を詳細に検討すると、それは下流域からの流出によるものであり、上流域に浸透した雨水はかなり時間が経過した後、徐々に流出しハイドログラフの低減部を形成しているのがわかる。

(3) 図6の飽和帯の消長については両方の計算結果はかなり良く一致している。このような領域では降雨浸透に伴って飽和帯は下流側から舌状を呈し上昇するが、上層からの供給が減少するとすぐ降下を始める。このように飽和帯はそれほど大きく発達せず短時間に消失し、その後不透層上に高水分領域が形成される。

(4) この拡張型linked modelを用いるこ

とにより、従来のmodelで定義がむずかしかった有効飽和率が不要となり、また下部に飽和帯が存在しない場合でも二次元解析結果とはほぼ同等な結果が得られるなど、かなりの単純化が行えた。計算時間は二次元解析の場合の $2/3$ に短縮された。

この研究は文部省科学研究所試験研究(2)による研究成果の一部である。なお計算には京

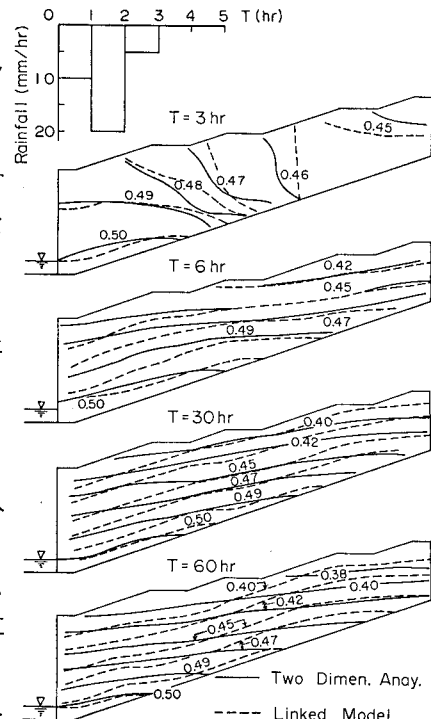


図4 土壤水分分布

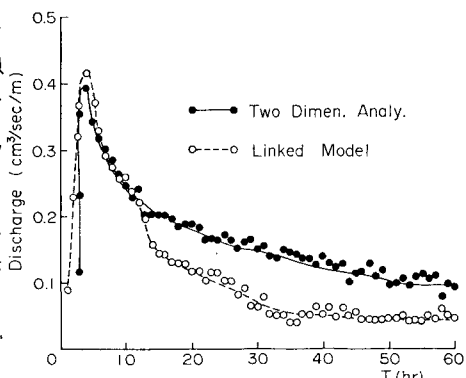


図5 地下水流出量

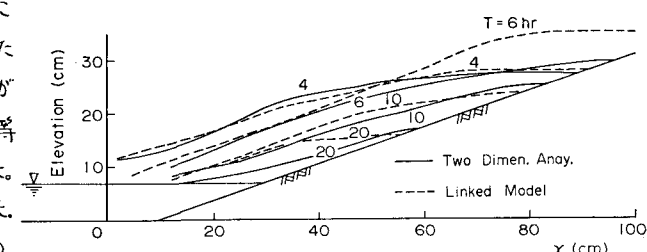


図6 飽和領域の消長

大防災研防災科学資料センターのFACOM 230-25, 化学研究所 FACOM 230-48を使用した。

1) 図: 山腹斜面域における不飽和浸透流の二次元解析, 第3回年譲, II-113, 附51, 2) 図: 角屋: 裸地斜面域における雨水の浸入と地下水流出(2), 京大防災研年報 17号B, pp.523-533, 1974. 3) M.F.Pikulなど: W.R.R.vol.10, No.2, pp.295-302.